# 铝土矿废石制备超低密度陶粒支撑剂的试验研究。

马俊伟<sup>1,2</sup>,吴国亮<sup>1,2</sup>,张建强<sup>1,2</sup>

(1.中铝郑州有色金属研究院有限公司,河南郑州 450041;2. 国家铝冶炼工程技术研究中心,河南郑州 450041)

摘 要:首次以铝土矿废石为主要原料,制备超低密度陶粒支撑剂。主要研究了原料预烧、烧成温度、烧成时间、添加剂用量等对支撑剂性能的影响。试验结果表明:铝土矿废石在 750  $^{\circ}$  预烧 2 h,添加剂 CMC 用量为 1.5%,在 1 320  $^{\circ}$  条件下焙烧 150 min,制备的 20 ~ 40 目陶粒支撑剂产品体积密度为 1.42 g/cm³,视密度为 2.55 g/cm³,52 MPa 的闭合压力下破碎率为 5.35%,各项指标均符合国家石油天然气 SY/T 5108 – 2014 的行业标准要求。

关键词:铝土矿废石;超低密度;陶粒支撑剂

中图分类号: X758 文献标识码: A 文章编号: 1001 - 0076(2019)03 - 0151 - 04

DOI:10.13779/j. cnki. issn1001 - 0076.2019.03.023

# Experimental Research on Preparation of Ultra – low – density Ceramsite Proppant with Bauxite Waste Rock

MA Junwei<sup>1,2</sup>, WU Guoliang<sup>1,2</sup>, ZHANG Jianqiang<sup>1,2</sup>

(1. Zhengzhou Non – ferrous Metals Research Institute Co. Ltd of CHALCO, Zhengzhou 450041, Henan, China; 2. National Aluminum Smelting Engineering Technology Research Center, Zhengzhou 450041, Henan, China)

**Abstract:** In this work, the ultra – low – density ceramsite proppant was first prepared using bauxite waste rock as the main raw material. The effects of raw material pre – calcination, sintering temperature, sintering time and additive dosage on proppant performance were studied. The test results showed that under the conditions of the pre – calcination time of 2 hours in 750 °C, the additive CMC dosage of 1.5%, calcination time of 150 min in 1 320 °C, the bauxite waste rock could be prepared into ceramsite proppant with the size of 0.42 and 0.84 mm, volume density of 1.42 g/cm³, the apparent density of 2.55 g/cm³, the breaking rate of 5.35% at the closing pressure of 52 MPa. All indicators were in line with the national oil and gas SY/T 5108 – 2014 industry standard requirements.

**Key words:** Bauxite waste rock; ultra – low – density; ceramsite proppant

在铝土矿的采矿过程中,会产生大量硬质黏土矿以及采矿顶板和底板剥离的低品位矿,在当前市场经济形势下均作为废渣进行排弃,不仅浪费了宝贵的矿产资源,造成企业的经济损失,而且占用了大量土地

及资金,不利于环境保护 $^{[1-3]}$ 。相关文献表明,2011年我国铝土矿山排出废石为 115 780.9 kt,废石平均利用率仅为 3.42% $^{[4]}$ 。铝土矿废石的主要含量为 SiO<sub>2</sub> 和 Al<sub>2</sub>O<sub>3</sub>,通过合理控制废石中的 Fe<sub>2</sub>O<sub>3</sub>、K<sub>2</sub>O、

<sup>\*</sup> 收稿日期:2019-03-22

基金项目:中国铝业股份有限公司 2019 年度重大科技专项(ZB2019002011)

Na,O 等成分含量,可用于制备耐火材料或油气开采 行业的陶粒支撑剂[5,6]。常规陶粒支撑剂的密度一般 比较大,严重影响着有效水力裂缝的形成,并难以应 用到长缝压裂,超低密度时压裂支撑剂的使用能够增 加裂缝的有效长度,提高裂缝导流能力,节省支撑剂 用量,提高压裂井的增产效益[7,8]。

目前我国中密度陶粒支撑剂产能严重过剩,而超 低密度陶粒支撑剂产能严重不足,是近期和未来陶粒 支撑剂的重要发展方向。特别是随着水力压裂技术 的不断发展,石油行业对支撑剂性能的要求也越来越 高,低密度陶粒支撑剂的应用是提高深油井石油产量 的重要措施。从生产原料角度考虑,采用工业固体废 弃物制备高性能陶粒支撑剂代表了石油压裂支撑剂 的发展方向[9-12],低成本高性能石油压裂支撑剂的 研究必将会受到人们的高度重视和发展。

论文以 Al,O, 含量较低、SiO, 含量较高的铝土 矿废石为主要原料来开展制备超低密度陶粒支撑剂 的试验研究,不仅使废弃资源得到综合利用,而且能 够掌握超低密度陶粒支撑剂的关键制备技术,对促 进我国支撑剂行业的绿色发展具有重要意义。

#### 试验 1

### 1.1 试验原料

试验采用的铝土矿废石来自山西某铝土矿采矿 厂,为硬质黏土矿,铝土矿废石化学成分分析见表 1,物相分析结果见表2。

由表 1、表 2 可知,山西某铝土矿废石为低铝原 料,Al,O,含量仅为40.26%,主要含硅矿物为高岭 石、伊利石,主要含铝矿物为高岭石和一水硬铝石, 主要含铁矿物为赤铁矿, Fe<sub>2</sub>O<sub>3</sub> 含量小于 2.0%, K,O 与 Na,O 合量小于 0.4%,其化学成分基本符合 低密度陶粒支撑剂对主要生产原料的要求。

铝土矿废石化学多元素分析结果 /%

/%

Table 1 Multi – elements analysis results of bauxite waste rock

Element Al, O, SiO, Fe, O, TiO, K, O Na, O CaO MgO Content 40. 26 42. 33 1. 30 1. 95 0. 11 0. 01 0. 16 0.07

表 2 铝土矿废石的物相分析结果

Table 2 Chemical phase analysis resultsof bauxite waste rock

Mineral Diaspore Kaolinite Illite Hematite Anatase Rutile 5.10 89.90 1.10 1.30 1.55 0.40 Content

### 1.2 试验方法

将铝土矿废石首先在650~800 ℃温度下进行 预烧2h,然后与一定量的羧甲基纤维素(CMC)作 为添加剂配料混合后进行粉碎至粒度小于 0.037 4 mm,再将上述物料用强制搅拌制粒机完成造粒,制 成 18~35 目颗粒半成品:将颗粒半成品烘干至水分 含量小于3%,然后进入高温管式回转炉进行烧结, 烧结温度为1280~1360℃,烧结时间为1~3h,制 得粒径为20~40目的超低密度陶粒支撑剂。

### 1.2.1 成球工艺

试验采用高速搅拌制粒机进行制粒,造粒前,先 将粉料和水加入到容器之中,然后进行高速搅拌,粉 料与水充分混合,而后慢慢形成球核,渐渐长大;当 长大到一定尺寸后,搅拌杆上的针状杆就将超出尺 寸的部分球粒重新击碎,重新进行球粒长大的过程。 在球粒长大到目标尺寸后,迅速投入预留的少量同 配方粉料进行表面包覆抛光,使球粒表面更加光滑, 内部更加致密,易干分散。

### 1.2.2 烧成工艺

试验采用高温管式回转炉对产品进行烧成。将 合格粒级的生料球烘干后加入自动给料仓,设定升 温曲线,调整回转炉倾斜角和转速,进行陶粒烧成试 验,烧成产品筛分20~40目粒级,测定产品圆度、球 度、体积密度和不同闭合压力的破碎率等性能。

### 1.3 测试方法

陶粒支撑剂的圆球度、体积密度、视密度和破碎 率均参照 SY/T 5108 - 2014《水力压裂和砾石充填 作业用支撑剂性能测试方法》进行测定和计算[13]。 试验采用 X'pert MPD Pro X - 射线衍射仪对试样进 行物相分析,使用 JSM - 6360LV 扫描电子显微镜观 察陶粒支撑剂结构。20~40目低密度陶粒支撑剂 应符合以下指标:圆度及球度均大于0.8,体积密度 小于等于1.65 g/cm³,视密度小于等于3.00 g/cm³, 52 Mpa 破碎率小干等干 9.0%。

# 试验结果与讨论

#### 2.1 原料预烧对成球性能的影响

为了研究原料预烧对陶粒支撑剂成球性能的影 响,对铝土矿废石分别通过 650 ℃、700 ℃、750 ℃、 800 ℃等不同温度预烧下 2 h 得到四种原料,然后分 别对四种原料进行制粒试验,试验结果如表3所示。

表 3	不同预烧温度对成球性能的影响	h
-----	----------------	---

Table 3	Effect of different	pre - calcination te	emperatures on	the balling	properties
---------	---------------------	----------------------	----------------	-------------	------------

Pre – calcination	The properties of 20 ~ 40 mesh		- n	
temperature $/^{\circ}\! \mathbb{C}$	Yield /%	Roundness/Sphericity	Phenomenon	
0	41.15	>0.6	Particle size is not uniform, roundness and sphericity is poor	
650	49.62	> 0.8	Particle size is uniform, roundness and sphericity is good	
700	55.73	> 0.9	Particle size is uniform, roundness and sphericity is good	
750	62.36	> 0.9	Particle size is uniform, roundness and sphericity is the best	
800	48.35	>0.7	Particle size is not uniform, roundness and sphericity is poor, sphere is virtual and strength is low	

由表 3 可以看出,采用铝土矿废石生料制粒成球时,颗粒大小不太均匀,两极分化较为严重,圆球度较差,20~40 目生球产率较低;而铝土矿废石经预烧后制粒成球时,颗粒大小较为均匀,圆球度较好,随着温度的升高 20~40 目生球产率先升高再降低,当预烧温度达到 750 ℃时生球产率最高可达62.36%,圆球度也最好;但当预烧温度达到 800 ℃时,粉料变得干燥且松散,颗粒之间团聚现象减弱,可塑性变差,导致成球效果变差。综合考虑,原料的预烧温度确定为 750 ℃。

### 2.2 烧成温度对成品球性能的影响

烧成温度的高低,直接影响晶粒尺寸、液相的组成和数量以及气孔的形貌和数量,它们综合地影响陶粒支撑剂的各项性能。在烧成时间为 150 min时,试验对铝土矿废石制备的生料球开展烧成温度试验研究,试验结果如图 1 所示。

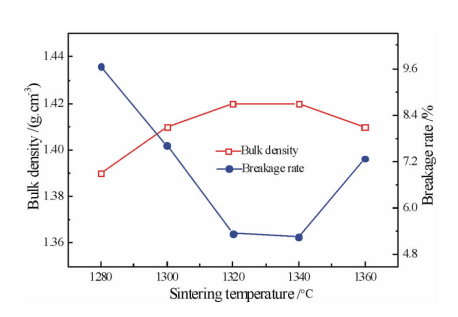


图 1 不同烧成温度对成品球性能的影响 Fig. 1 Effect of different sintering temperatures on the finished ball properties

由图 1 可以看出,烧成温度过低或过高都会影响成品球的性能。在烧成温度为 1 280 ℃时,温度过低,使得成品球烧结不完全,内部无法构成固相构架,结构松散,强度低。烧成温度为 1 360 ℃时,温度过高,成品球过分烧结,颗粒之间会粘结在一起,强度也会下降。因此,针对铝土矿废石,结合产品指标及生产能耗,较适宜的烧成温度为 1 320~1 340 ℃。

### 2.3 烧成时间对成品球性能的影响

在烧成温度为 1 320 ℃时, 开展烧成时间对成品球体密度和破碎率的影响试验, 结果如图 2 所示。由图 2 可以看出, 随着烧成时间的延长, 成品球体积密度逐渐升高并趋于稳定, 52 Mpa 破碎率呈先下降后升高的趋势, 这是因为烧成时间较短时不能使原料表面充分熔融, 无法形成封闭性结构, 开孔率增大, 支撑剂的抗破碎能力减小, 致使其破碎率升高。随着烧成时间的延长, 试样中有新的固相析出, 产生新的晶界, 原始晶粒逐渐长大[14], 会恶化试样显微结构的均匀性, 致使破碎率升高。综合比较认为在1 320 ℃条件下, 烧成时间为 140~160 min 时成品球可以达到较佳的性能。

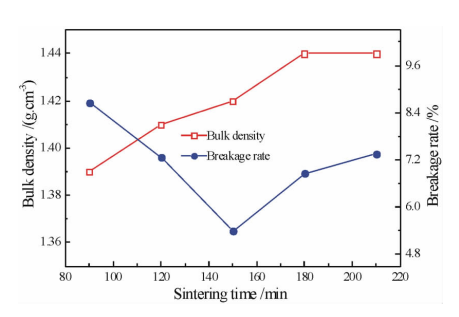


图 2 不同烧成时间对成品球性能的影响 Fig. 2 Effect of different sintering times on the finished ball properties

## 2.4 添加剂用量对成品球性能的影响

羧甲基纤维素(CMC),它属于阴离子型纤维素 醚类,直接和粉体混合,加一定量的水时具有一定的 粘结效果,在制粒过程中可以作为一种添加剂使用。 在制粒时使用添加剂不仅是为了增加其成品的性 能,更重要的是使用添加剂可以增加粉料的黏性,降 低造粒的难度,防止因粉料黏性不强,无法制粒。但 当添加剂过量时,也会导致球粒容易团聚,造粒效果 变差。为考察添加剂用量对成品球性能的影响,分 别开展不同羧甲基纤维素用量对成品球体密度和破 碎率的影响试验,结果如图 3 所示。由图 3 可以看出,随着添加剂用量的增加,成品球的体积密度先增加再减少,52 Mpa 破碎率先减少再增加,当羧甲基纤维素用量为 1.5% 时,成品球 52 Mpa 破碎率最低可达 5.46%。综合考虑,铝土矿废石在制粒时添加剂用量确定为 1.5%。

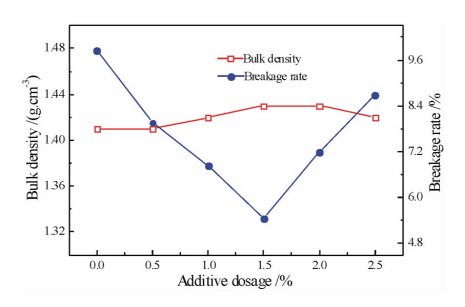


图 3 不同添加剂用量对成品球性能的影响 Fig. 3 Effect of different additive dosages on the finished ball properties

### 2.5 产品分析

在上述最佳条件下,对山西某铝土矿废石进行预烧、制粒及烧成等作业后制得 20~40 目陶粒支撑剂产品,产品 XRD 物相分析和 SEM 形貌分析分别见图 4、图 5。依据 SY/T 5108 - 2014《水力压裂和砾石充填作业用支撑剂性能测试方法》对最佳陶粒支撑剂产品进行性能指标检测,检测结果见表 4。

由图 4、图 5 可知,最佳条件下铝土矿废石制备陶粒支撑剂产品物相成分主要为莫来石、刚玉和方石英;陶粒支撑剂内部结构致密,晶体发育完全,主要为莫来石相,提高了产品的抗压强度。根据表 4 检测结果,采用铝土矿废石制备的产品指标符合超低密度陶粒支撑剂标准要求,可用于油气田开采过程中,随同压裂液一起压入地层充填在岩层裂隙中起到支撑作用,从而提高油井产量及延长油气井服务年限。

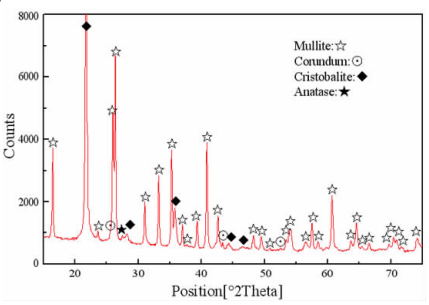


图 4 陶粒支撑剂样品的 XRD 分析图谱 Fig. 4 XRD pattern analysis of the ceramsite proppant samples

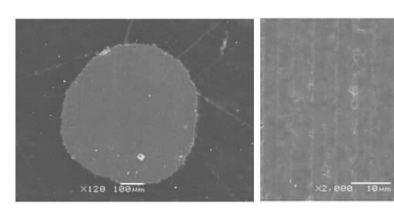


图 5 陶粒支撑剂产品的微观形貌

2019年

Fig. 5 Microstructure of the ceramsite proppant samples

表 4 铝土矿废石制备的超低密度陶粒支撑剂检测结果 Table 4 Testing results of ultra - low - density ceramicite

proppant prepared by bauxite waste rock 检测结果 检测项目 低密标准要求 结果判定 体积密度/(g・cm<sup>-3</sup>) 1.42 ≤1.65 合格 2.55 视密度/(g・cm<sup>-3</sup>) ≤3.00 合格 52 MPa 破碎率/% 5.35 ≤9.0 合格 圆度 0.9 ≥0.80 合格 球度 0.9  $\ge 0.80$ 合格 浊度,FTU 53 ≤100 合格 酸溶解度/% 3.6 ≤5.0 合格

# 3 结论

- (1)以山西某铝土矿废石为原料,在750℃预烧2h后,采用1.5%含量的羧甲基纤维素作为添加剂配料,经制粒、烧成后制备了一种超低密度陶粒支撑剂产品。在1320℃条件下焙烧150 min,20~40 目产品体积密度为1.42 g/cm³,视密度为2.55 g/cm³,52 Mpa的闭合压力下破碎率为5.35%,各项指标均符合国家石油天然气 SY/T 5108 2014 的行业标准要求。
- (2)通过对样品微观形貌及物相进行分析,其 主要晶相是莫来石相和刚玉相,内部结构致密,晶体 发育完全,提高了产品的抗压强度。
- (3)采用铝土矿废石制备超低密度陶粒支撑剂,与采用常规原料生产低密度陶粒支撑剂相比,可实现铝土矿废石的高效利用,有效降低废石堆存过程中的环境和安全风险,生产成本低,具有显著的经济效益和社会效益。

### 参考文献:

- [1] 范殿贵. 硬质粘土矿废石回填采空区的探讨[J]. 矿业快报, 2000(14):12-13.
- [2] 王二星. 铝土矿浮选尾矿膏体堆存技术研究[J]. 轻金属, 2013(7):4-7.
- [3] 娄世彬,李晓萍. 关于铝土矿选尾矿的干法堆存技术探讨 [J]. 铝镁通讯,2016(2):1-3.
- [4] 冯安生,吴彬,吕振福,等. 我国铝土矿资源开发利用"三率" 调查与评价[J]. 矿产保护与利用,2016(5):16-18.

(下转第159页)

- [3] 梁止水,杨才千,高海鹰,等.建筑工程废弃泥浆快速泥水分离试验研究[J].东南大学学报(自然科学版),2016,46(2):427-433.
- [4] 李旭. 泥水盾构废弃泥浆絮凝脱水试验研究[J]. 铁道建筑, 2018.58(5):144-147.
- [5] 周昊宸,周向清.盾构泥水固液快速分离用改性无机絮凝剂及 改性方法和应用:108975474A[P].2018-12-11.
- [6] 元敬顺,赵立会,李振华,等. 淤泥对污泥、粉煤灰 页岩陶 粒性能的影响[J]. 河北建筑工程学院学报,2016,34(3):52 -55.
- [7] 刘爽,支家强,吴鹏,等. 污水厂污泥与河道淤泥联合烧制陶 粒的技术研究[J]. 砖瓦,2017(7);18-24.
- [8] 张卓,张峰君,谢发之,等.盾构渣土基免烧免蒸陶粒固化重金属离子研究[J].广州化工,2015,43(9);51-53.

- [9] 郝彤, 王帅, 李鑫箫, 等. 利用盾构渣土制备水泥混合材的可行性研究[J]. 硅酸盐通报, 2019, 38(4): 1018-1023.
- [10] 韩婷婷,吴思麟,吕一彦. 泥浆中水分形态对抗剪强度与流变性的影响[J]. 长江科学院院报,2018,35(2):104-108.
- [11] Neyens E, Baeyens J, Dewil R, et al. Advanced sludge treatment affects extracellular polymeric substances to improve activated sludge dewatering [J]. Journal of hazardous materials, 2004, 106(2-3): 83-92.
- [12] 林春绵,王建超,甄万顺.利用污泥烧制陶粒滤料的实验研究[J].浙江工业大学学报,2018,46(5):585-590.
- [13] 魏博,张一敏,包申旭. 煅烧制度对高岭土活性及地聚物性能的影响[J]. 非金属矿,2016,39(4):31-34.
- [14] 李天鹏. 新型陶粒的制备、表面改性及处理模拟废水机制研究[D]. 上海: 东华大学, 2017.
- 引用格式:陈攀,杨磊,孙伟,等. 盾构泥基陶粒的制备及其吸附性能研究[J]. 矿产保护与利用,2019,39(3):155-159.

CHEN Pan, YANG Lei, SUN Wei, et al. Study on preparation and adsorption properties of shield mud[J]. Conservation and utilization of mineral resources, 2019, 39(3):155-159.

投稿网址: http://kcbh. cbpt. cnki. net

E - mail: kcbh @ chinajournal. net. cn

#### (上接第154页)

- [5] 刘东方,刘文凯,薛宝达,等. 铝土矿尾矿合成莫来石的研究 [J]. 矿业科学学报,2016(3):256-260.
- [6] 申献江, 马冬阳, 张梅, 等. 铝土矿尾矿除杂及合成刚玉 莫来石研究[J]. 耐火材料, 2017(4): 256 269.
- [7] 曲占庆, 曹彦超, 郭天魁, 等. 一种超低密度支撑剂的可用性 评价[J]. 石油钻采工艺, 2016, 38(3): 372 377.
- [8] 李树良. ULW -1.05 超低密度支撑剂评价及应用[J]. 油气 田地面工程,2013,32(9):66-67.
- [9] 王晋槐,赵友谊,龚红宇,等. 石油压裂陶粒支撑剂研究进展 [J]. 硅酸盐通报,2010 (3):633-636.
- [10] 师志虎,石磊,等. 石油压裂陶粒支撑剂研究进展探讨[J].

中国石油和化工标准与质量,2013(8):79.

- [11] 程占岭. 探讨石油压裂陶粒支撑剂研究进展[J]. 化工管理, 2014,(26):125-125.
- [12] 崔冰峡,刘军,陈耀斌,等. 陶粒压裂支撑剂研究进展[J]. 硅酸盐通报,2016(2):458-463.
- [13] SY/T 5108 2014. 中华人民共和国石油天然气行业标准《水力压裂和砾石充填作业用支撑剂性能测试方法》[S]. 石油工业出版社,2015,3:5-22.
- [14] 吕宝强,刘顺,毕卫宇,等. 低密度陶粒支撑剂的指标工艺研究[J]. 铸造技术,2012,33(7):771-773.

引用格式:马俊伟,吴国亮,张建强,等. 铝土矿废石制备超低密度陶粒支撑剂的试验研究[J]. 矿产保护与利用,2019,39(3):151-154.

MA Junwei, WU Guoliang, ZHANG Jianqiang, et al. Experimental research on preparation of ultra – low – density ceramsite proppant with bauxite waste rock[J]. Conservation and utilization of mineral resources, 2019, 39(3):151 – 154.

投稿网址:http://kcbh.cbpt.cnki.net

E – mail : kcbh@ chinajournal. net. cn